

ПАЛЕОНТОЛОГИЧЕСКИЙ ЖУРНАЛ

(ОТДЕЛЬНЫЙ ОТТИСК)

Е. В. Мамонтова

Новый род Крупных фораминифер
из нижнего баррема Туркмении

УДК 563.12

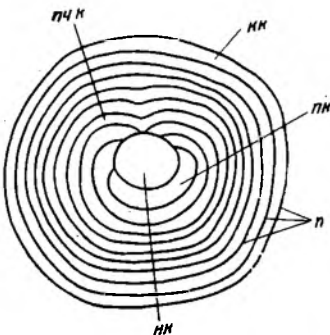
Е. В. МАМОНТОВА

НОВЫЙ РОД КРУПНЫХ ФОРАМИНИФЕР ИЗ НИЖНЕГО БАРРЕМА ТУРКМЕНИИ

В Туркмении, на Большом Балхане в районах ущелья Унбельмес, гор Арлай, Огланлы и у совхоза Комсомольского в карбонатных породах нижнего баррема были найдены неизвестные ранее крупные фораминиферы (сборы геологов В. А. Прозоровского, Э. И. Птушкина, А. С. Фурсова и автора).

Исследование этих фораминифер в шлифах показало, что они относятся к новому роду семейства *Meandropsinidae* Henson, 1948. Следует, однако, иметь в виду, что Хенсон в характеристике указанного семейства пишет о спирально-плоскостном расположении камер в начальной части раковин. Но в то же время он подчеркивает.

Рис. 1. Схема строения раковины рода *Balkhania*: *нк* — начальная камера, *пк* — полукоильцевая камера, *пчк* — почковидная камера, *кк* — кольцевая камера, *п* — перегородки



что эта особенность наблюдается «по меньшей мере у примитивных родов» (Henson, 1948, стр. 77), и сам относит к этому семейству, например, род *Quataria*, строение эмбрионального аппарата которого ничем не отличается от такового рода *Balkhania* gen. nov. Представители последнего обнаружены только в нижнем барреме, они встречаются там в значительных количествах, поэтому наряду с научным интересом могут иметь и практическое значение при геологических работах.

Описанный и изученный материал хранится в музее кафедры исторической геологии Ленинградского государственного университета имени А. А. Жданова (ЛГУ), коллекция № 293.

Род *Balkhania* Mamontova, gen. nov.

Типовой вид — *Balkhania balkhanica* sp. nov.; нижний баррем; Туркмения¹. Диагноз. Раковина дискоидальная, уплощенная, известковая. Наружная стена состоит из двух слоев — эпидермального и подэпидермального. При отсутствии тонкого стекловидного эпидермального слоя обнаруживается пористая структура нижележащего. Раковины эволютные от 2 до 15 мм в диаметре. Они состоят из шарообразной начальной камеры и последующих трубчатых полукоильцевых, почковидных и кольцевых камер (рис. 1). В горизонтальном и осевом сечениях хорошо различаются перегородки между камерами. В осевом сечении видны полости всех перечисленных камер.

Видовой состав. В настоящее время известен один вид этого рода.

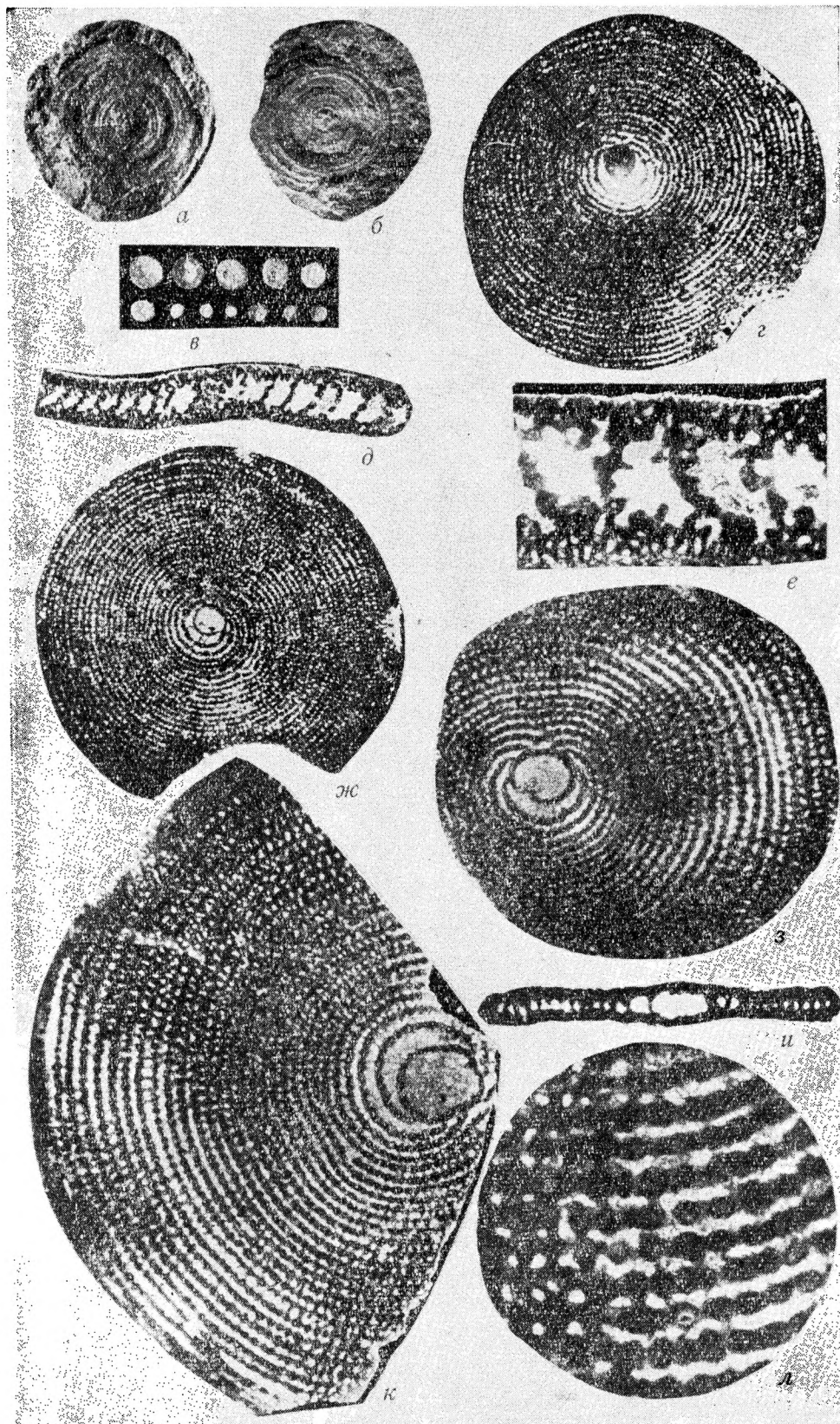
Сравнение. *Balkhania* отличается от близкого рода *Dohaia* Henson, 1948 отсутствием спирально-плоскостного расположения камер в начальной стадии роста. Осевые сечения представителей рода *Pseudochoffatella* Deloffre, 1961 имеют сходство с таковыми *Balkhania*, но Делоффр предполагает спирально-плоскостное расположение камер в начальной стадии роста раковины. Горизонтальные сечений раковин *Pseudochoffatella* Делоффр не приводит.

Balkhania balkhanica Mamontova, sp. nov.

Голотип — ЛГУ, № 7/293; Туркмения, Большой Балхан, ущелье Унбельмес; нижний баррем.

Описание (рис. 1, 2). Раковина дискоидальная, уплощенная, у крупных форм слегка двояковогнутая, у мелких — слабо выпуклая в центре, известковая, на по-

¹ Родовое и видовое название от хребта Большой Балхан.



верхности видны концентрические валики. Раковины эволютные. В одном и том же местонахождении обычно встречаются резко различные по размерам экземпляры, одни мелкие (с диаметром до 5 мм), другие крупные (до 15, а иногда и до 20 мм в диаметре). Эти формы, по-видимому, представляют собой колебания А и В единого вида. Мелкие раковины (форма А) состоят из начальной, относительно большой камеры, круглой или продолговато-овальной в сечении, одной или двух полукольцевых трубчатых камер, двух или трех почковидных и многочисленных (до 30) кольцевых (рис. 1). В горизонтальном и осевом сечении видны пористые перегородки между камерами, состоящие из криптокристаллического кальцита, а поры между ними заполнены микрозернистым кальцитом (рис. 2, а). По своему строению перегородки не отличаются от подэпидермального слоя. В осевом сечении видны полости камер (рис. 2, б, в). Последовательные камеры соединяются благодаря наличию пор в перегородках. Эмбриональную часть крупных раковин (форма В) исследовать не удалось, строение же последующих стадий роста раковин такое же, как и у мелких форм А.

Размеры, мм:

Форма А			Форма В		
Диаметр	Толщина		Диаметр	Толщина	
Экз. № 4/293	5,9	0,4	Экз. № 19/293	15	0,5
Экз. № 11/293	4,7	0,5	Экз. № 20/293	14,2	0,73
Экз. № 12/293	4,6	0,4	Экз. № 21/293	12,4	0,62
Экз. № 13/293	3,8	0,3	Экз. № 22/293	12,0	0,70
Экз. № 7/293	2,9	0,3	Экз. № 23/293	10	0,6
Экз. № 14/293	2,7	0,25	Экз. № 24/293	9,3	0,75
Экз. № 15/293	2,6	0,35			
Экз. № 16/293	2,3	0,23			
Экз. № 17/293	2,0	0,25			
Экз. № 18/293	1,8	0,25			

Изменчивость. У мегасферических форм (А) изменчивость выражается в форме и размерах начальной камеры. У одних экземпляров камера в сечении круглая, у других — овальная. Количество почковидных камер бывает от одной до трех.

Геологическое и географическое распространение. Нижний баррем; Туркмения, Большой Балхан.

Материал. Около 200 экз. раковин различной сохранности; из 150 изготовлены ориентированные щлифы в горизонтальном и осевом направлениях. Раковины найдены в Туркменской ССР, на Большом Балхане, в районе ущелья Унбельмес, гор Арлан, Огланлы и у совхоза Комсомольского.

ЛИТЕРАТУРА

Deloffre R. 1961. Sur la découverte d'un nouveau lituolidé du Crétacé inférieur des Basses — Pyrénées: *Pseudochoffatella cuvilliéri* n. gen., n. sp. Rev. Micropaleontol., t. 4, Nr. 2, p. 105—107.

Henson F. R. S. 1948. Larger imperforate foraminifera of South-Western Asia. Bull. Brit. Museum (Natur. History), Zool., p. 101—103.

Ленинградский государственный университет Статья поступила в редакцию
им. А. А. Жданова 5 VI 1964

Рис. 2. *Balkhania balkhanica* sp. nov.; а, б — экз. № 1/293 и 2/293, крупные раковины с поверхности, видны концентрические валики ($\times 1$); Большой Балхан, Унбельмес; нижний баррем; в — экз. № 3/293, мелкие раковины с поверхности ($\times 1$); Большой Балхан, гора Арлан; нижний баррем; г — экз. № 4/293, горизонтальное сечение ($\times 9$); Большой Балхан, гора Арлан; нижний баррем; д — экз. № 5/293, часть крупной раковины в осевом сечении, видна пористая структура подэпидермального слоя и перегородок ($\times 11$); е — то же при большом увеличении ($\times 55$); Большой Балхан, у совхоза Комсомольского; нижний баррем; ж — экз. № 6/293, горизонтальное сечение ($\times 11$); Большой Балхан, гора Арлан; нижний баррем; з — голотип № 7/293, часть раковины в горизонтальном сечении, хорошо видны камеры ($\times 20$); Большой Балхан, Унбельмес; нижний баррем; и — экз. № 8/293, осевое сечение, видна продолговато-овальная начальная камера и последующие ($\times 18$); Большой Балхан, гора Арлан; нижний баррем; к — экз. № 9/293, часть раковины в горизонтальном сечении, видны все камеры ($\times 20$); Большой Балхан, Унбельмес; нижний баррем; л — экз. № 10/293, часть раковины в горизонтальном сечении, видны перегородки между камерами, состоящие из криптокристаллического кальцита, и поры между ними, заполненные микрозернистым кальцитом ($\times 55$); Большой Балхан, Унбельмес; нижний баррем